

VILNIAUS UNIVERSITETAS  
MATEMATIKOS IR INFORMATIKOS FAKULTETAS  
PROGRAMŲ SISTEMŲ KATEDRA

**Mažos duomenų imties problemos poveikis  
klasifikacijos tikslumui naudojant dirbtinius  
neuroninius tinklus**

**The Effect of a Small Dataset Problem on Classification  
Accuracy Using Artificial Neural Networks**

Kursinis darbas

Atliko:	3 kurso 5 grupės studentė Miglė Vaitulevičiūtė	(parašas)
Darbo vadovas:	asist. dr. Vytautas Valaitis	(parašas)

## TURINYS

IVADAS .....	3
1. DIRBTINIS NEURONINIS TINKLAS .....	4
1.1. Dirbtinio neuroninio tinklo sudėtis .....	4
1.2. Dirbtinio neuroninio tinklo veikimas .....	4
1.3. Aktyvavimo funkcijos .....	5
1.4. Nuostolio funkcijos .....	5
1.5. Optimizavimo funkcijos .....	6
2. KONVOLIUCINIS NEURONINIS TINKLAS .....	8
2.1. Konvoliucija .....	8
2.2. Konvoliucinio neuroninio tinklo sluoksniai .....	9
2.2.1. Konvoliucinis sluoksnis .....	9
2.2.2. Sujungimo sluoksnis .....	9
2.2.3. Pilno sujungimo sluoksnis .....	10
2.3. Architektūros .....	10
2.4. Modelio derinimas .....	11
2.5. Tikslumas .....	11
3. TECHNOLOGIJOS .....	13
3.1. ImageNet .....	13
3.2. Keras .....	13
3.3. TensorFlow .....	13
4. MODELIO DERINIMAS IR MODIFIKAVIMAS-DERINIMAS SU MAŽU DUOMENŲ RINKINIU .....	14
4.1. Programos veikimas .....	14
4.2. Modelių mokymas .....	15
4.2.1. Modelio derinimas .....	15
4.2.2. Modelio modifikavimas .....	17
REZULTATAI IR IŠVADOS .....	20
LITERATŪRA .....	22

# Įvadas

Dirbtinių neuroninių tinklų idėja buvo sugalvota 1943 metais [Pit43], bet dėl resursų trūkumo dirbtinių neuroninių tinklų efektyviai ir naudingai taikyti neišėjo. Tobulėjant technologijoms bei kompiuteriams galint vykdyti vis daugiau ir daugiau skaičiavimų dirbtiniai neuroniniai tinklai sparčiai įgijo populiarumą.

Vienas iš pagrindinių sprendžiamų uždavinių yra klasifikacija - procesas, kurio metu yra ieškoma panašių ypatybių (angl. feature) tarp skirtingų objektų, pavyzdžiui paveiksliukų, ir jie yra skirstomi į atitinkamas klases [Pau01]. Tokį uždavinį gali atlikti dirbtinių neuroninių tinklų tipas - konvoliuciniai neuroniniai tinklai [Fuk80; LHB<sup>+</sup>99]. Klasifikacijos uždavinys yra aktualus, kadangi jo panaudojimas yra labai skirtingas - nuo medicinos iki savivaldžių automobilių.

Konvoliuciniai neuroniniai tinklai gali būti naudojami:

- Veido atpažinimui - identifikuoti arba verifikuoti asmenį. Pavyzdžiui, „DeepFace“ sistema sukurta „FaceBook“ [TL14], kuri atpažįsta žmonių veidus nuotraukose, arba „Face ID“ sistema sukurta Apple, kuri yra skirta identifikuoti asmenį, kuris bando atrakinti telefoną.
- Medicinoje - širdies, plaučių, prostatos, krūties vėžių [GVR<sup>+</sup>10], akių ligų diagnozavimui [Gau15].
- Žmonių elgesio analizė realiu laiku – „DeepGlint“ nustato žmones nuotraukose ir nuspėja jų elgesį [BX16].
- Vertimas – „Google Translate“ gali versti tekstą iš paveiksliukų realiu laiku [Ras15].

Daugiausia resursų išnaudojanti dirbtinių neuroninių tinklų dalis yra mokymas. Jam reikia skirti daug laiko ir turėti didelę duomenų imtį (angl. dataset), kuriame kiekvienas paveiksliukas turėtų žymę (angl. label). Tačiau realiaame pasaulyje duomenų kiekis ir žmogiškieji bei laiko resursai yra riboti, todėl yra siekiama keičiant dirbtinio neuroninio tinklo architektūrą bei jo parametrus gauti kuo didesnę tikslumą. Dirbtinio neuroninio tinklo tikslumą lemia ne vien kokybiški duomenys, didelį poveikį turi ir tinklo gylis - kiek daug sluoksnių turi dirbtinis neuroninis tinklas.

Šio darbo tikslas yra palyginti skirtingų gylių dirbtinius neuroninius tinklus pagal tikslumą, kai mokymui yra naudojamas mažas duomenų rinkinys.

Užduotys:

1. Išskirti dirbtinių neuroninių tinklų ir konvoliucinių neuroninių tinklų privalumus.
2. Suderinti (angl. fine-tune) egzistuojančio modelio 4 paskutinius sluoksnius su pasirinktu mažu duomenų rinkiniu.
3. Modifikuoti egzistuojantį modelį, nustatant paskutinius 4 sluoksnius mokomus (angl. trainable) ir pridėdant 14 papildomų sluoksnių, ir jį suderinti su pasirinktu mažu duomenų rinkiniu.
4. Palyginti ir įvertinti suderinto ir modifikuoto-suderinto modelių tikslumą pagal gautą derinimo informaciją.
5. Palyginti SGD, Adam, Adagrad ir RMSprop optimizavimo funkcijas naudojant suderintą ir modifikuotą-suderintą modelius, kurie apmokyti su mažu kiekiu duomenų.

# 1. Dirbtinis neuroninis tinklas

Pagal apibendrintą žmogaus smegenų veikimą buvo sugalvoti dirbtiniai neuroniniai tinklai [GBC16]. Bendrai žmogaus smegenys turi šimtus milijardų neuronų, kurie yra sujungti sinapsėmis. Per šiuos neuronus sklinda elektroniniai impulsai, perduodantys informaciją. Tokiu būdu žmonės gali atpažinti objektus, garsus ir t.t. Dirbtiniai neuroniniai tinklai veikia panašiai. Jie turi daug besijungiančių neuronų, kurie gauna informaciją ir pagal tą informaciją gali nuspręsti koks tai objektas. Tačiau ties tuo ir baigiasi žmogaus smegenų ir dirbtinių neuroninių tinklų panašumas, kadangi dirbtiniai neuroniniai tinklai yra matematinis algoritmas su aritmetiniais kintamaisiais. Šis algoritmas yra suvokiamas tik žmogui, kuris suprogramavo dirbtinį neuroninį tinklą, pačiam tinklui algoritmas nieko nereiškia, nuovokos nesuteikia.

## 1.1. Dirbtinio neuroninio tinklo sudėtis

Dirbtinis neuroninis tinklas yra sluoksnių rinkinys - neuronų grupė sudaro sluoksnį, kuris yra sujungtas tarpusavyje su kitais sluoksniais [ZGD03]. Vienas iš sluoksnių privalo būti įvesties sluoksnis, kuris atitinkamai pagal užduotį gali gauti įvairios formos informaciją - paveikslukai, vaizdo medžiaga, garsas ir t.t. Ši informacija yra reikalinga tam, kad tinklas galėtų ją išanalizuoti ir išmokti, kad vėliau gavęs panašią informaciją galėtų ją atpažinti - tam reikalingas išvesties sluoksnis. Jis yra priešingame dirbtinio neuroninio tinklo gale negu įvesties sluoksnis. Tarp anksčiau apibūdintų sluoksnių yra įvairaus dydžio vidinė sluoksnių sistema, kuri atlieka pagrindinį darbą [Woo18].

## 1.2. Dirbtinio neuroninio tinklo veikimas

Jungtys tarp neuronų yra pateiktos skaitine išraiška ir vadinamos svoriu. Kuo didesnis šis svoris tuo didesnę įtaką turi vienas neuronas kitam. Vienam neuronui yra pateikiama visų prieš jį buvusių neuronų informacija ir jungčių svoriai. Kiekvieno neurono informacija yra sudauginama su jo svoriu ir visi šie duomenys yra sudedami tarpusavyje bei pridedama slenksčio reikšmė (angl. bias). Taip iš vektoriaus gaunamas vienas rezultatas ir jei šis rezultatas tinka aktyvavimo funkcijai, jis yra perduodamas tolimesniems neuronams [Shi12]. Tokio tipo veikimo projektavimas yra vadinamas tiesioginio sklidimo (angl. feedforward) tinklu.

Tačiau jungčių svoriai nėra pastovūs. Kai dirbtinis neuroninis tinklas mokosi, galutinis rezultatas yra lyginamas su tikėtinu teisingu rezultatu (daugiau informacijos „Nuostolio funkcija“), jei šie rezultatai skiriasi, slenksčio reikšmės ir svoriai yra keičiami atitinkamai [RS17], tai vadinama sklidimo atgal algoritmu (angl. backpropagation). Mokymo metu duomenys neuroniniu tinklu keliauja į priekį - nuo įvesties į išvesties sluoksnį. Kai išvesties sluoksnis yra pasiekiamas, gautas rezultatas yra palyginamas su norimu rezultatu bei apskaičiuojama nuostolio funkcija - kaip stipriai skiriasi gautas ir norimas rezultatai. Pagal šią reikšmę matoma, kaip reiktų keisti gautą rezultatą, kad nuostolio funkcijos reikšmė pasiektų lokalų minimumą. Tačiau siekiant aukštesnio tikslumo reikia keisti viso neuroninio tinklo parametrus - svorius, slenksčio reikšmes. Taigi, iš išvesties

rezultatų galima matyti, kaip reikia pakeisti - didinti arba mažinti - prieš tai buvusio sluoksnio parametrus, kad būtų gautas geriausias tikslumas. Šis procesas yra iteratyviai kartojamas kiekvienam neuronui su prieš jį einančiu sluoksniu bei jį galima įvardinti kaip funkciją (1):

$$\frac{\partial C_0}{\partial w^L} = \frac{\partial z^L}{\partial w^L} \frac{\partial a^L}{\partial z^L} \frac{\partial C_0}{\partial a^L}. \quad (1)$$

Šioje funkcijoje vienas sluoksnis turi vieną neuroną, priklausomai nuo neuronų ir sluoksnių skaičiaus prie funkcijos parametrų prisidėtų atitinkami indeksai. Funkcija parodo dalinės nuostolio funkcijos išvestinės ir dalinės svorio (arba slenksčio reikšmės) išvestinės santykį, kur  $w^L$  yra svoris, kurį galima pakeisti į  $b^L$  (slenksčio reikšmė),  $C_0$  yra nuostolio funkcijos reikšmė,  $z^L = w^L a^{L-1} + b^L$  ir  $a^L = \sigma(z^L)$ . Šitos funkcijos tikslas yra nustatyti kokį efektą svorio reikšmės pakeitimai turės nuostolio funkcijos reikšmei.

### 1.3. Aktyvavimo funkcijos

Aktyvavimo funkcijų (angl. activation function) yra įvairių, todėl specifinės problemos gali reikalausti vienos ar daugiau konkrečių aktyvavimo funkcijų [VK11]. Aktyvavimo funkcija yra skirta tam, kad nustatyti ar neuronui reikia būti aktyvuotam ar ne. Tai yra nusprendžiama pagal duomenis, kuriuos neuronas gauna, jeigu jie yra aktualūs, neuronas yra aktyvuojamas, jeigu ne - ignoruojamas. Šią funkciją galima aprašyti žemiau pateikta formule (2):

$$Y = A(\Sigma(w * d) + b). \quad (2)$$

Formulėje (2) pateikta raidė  $A$  reiškia bet kokia pasirinkta aktyvavimo funkcija, o jos parametrai  $w$  yra svoris,  $d$  yra įvesties duomenys ir  $b$  yra slenksčio reikšmė. Taigi, ar neuronas bus aktyvuotas priklauso nuo prieš jį buvusio sluoksnio jungčių dydžio, kurios parodo kiek svarbi yra jungtis tarp neuronų, kadangi kuo didesnis svoris tuo didesnis rezultatas gaunamas svorį sudauginus su įvesties duomenimis. Taip pat slenksčio reikšmė parodo ar reikia sustiprinti ar susiplinti gaunamą rezultatą.  $Y$  reikšmė priklauso nuo pasirinktos aktyvavimo funkcijos išvesties intervalo. Žemiau yra pateiktos kelios aktyvavimo funkcijos su išvesties intervalais.

Aktyvavimo funkcijos yra skirstomos į:

- Sigmoidinė (angl. sigmoid function) - išvesties intervale  $[0; 1]$ .
- Hiperbolinio tangento (angl. hyperbolic tangent) - išvesties intervale  $[-1; 1]$ .
- Minkštojo maksimumo (angl. softmax function) - sunormuoja išvesties vektorius į 1.
- ReLU - išvesties intervale  $[0; \text{begalybė}]$ .

### 1.4. Nuostolio funkcijos

Mokantis dirbtiniam neuroniniam tinklui jo gaunami rezultatai gali labai skirtis nuo tikėtinų rezultatų, todėl nuostolio funkcija apskaičiuoja kaip stipriai skiriasi gautas rezultatas nuo tikėtino. Kuo didesnis nuostolis tuo toliau nuo teisingo atsakymo yra dirbtinis neuroninis tinklas [Dav15].

Paprastčiausia ir dažniausiai naudojama nuostolio funkcija yra vidutinio kvadrato klaida. Ši funkcija apskaičiuoja kvadratinį skirtumą tarp tikėtino ir gauto rezultato. Tačiau šios funkcijos vienas iš didesnių trūkumų - neproporcingas išskyrimas didelių rezultatų. Kadangi funkcija didėja kvadratiniai, o ne tiesiniai, kai gaunamas rezultatas tolsta nuo tikėtino rezultato.

Priklausomai nuo to kokią problemą yra bandoma išspręsti yra naudojamos skirtingos funkcijos. Viena iš problemų yra klasifikacijos - dažniausiai išvesties rezultatas yra tikimybės vertė  $f(x)$ . Bendrai, funkcijos reikšmės dydis parodo gauto rezultato tikslumą.

Kelios klasifikacijos nuostolio funkcijos:

- Binarinė kryžiaus entropija (angl. binary cross entropy).
- Neigiama registravimo tikimybė (angl. negative log likelihood).
- Maržos klasifikatorius (angl. margin classifier).
- Minkštų maržų klasifikatorius (angl. soft margin classifier).

## 1.5. Optimizavimo funkcijos

Optimizavimo funkcijos naudojamos vidinių tinklo parametrų atnaujinimui, kad sumažinti gaunamų rezultatų netikslumą [Nik16]. Visos optimizavimo funkcijos gali būti suskirstytos į du tipus - nuolatinio mokymosi greičio ir prisitaikančio mokymosi. Lentelėje 1 išvardinti visos populiariausios optimizavimo funkcijos.

1 lentelė. Optimizavimo funkcijos

Pavadinimas	Tipas	Privalumai	Trūkumai	Veikimas
SGD	Nuolatinio mokymosi greičio	Parametrų atnaujinimai turi aukštą dispersiją, kas leidžia lengviau rasti lokalų minimumą.	Didelis svyravimas trukdo konverguoti.	Parametrų atnaujinimas vykdomas kiekvienai mokymo iteracijai.
Adam	Prisitaikančio mokymosi	Greitai konverguoja ir modelio mokymosi greitis yra didelis bei efektyvus.	Praleidžia mažą lokalų minimumą.	Suskaičiuoja mokymosi greitį kiekvienam parametrui bei saugo eksponentiškai nykstantį prieš tai buvusį kvadratinio gradiento vidurkį ir eksponentiškai mažėjantį prieš tai buvusį gradiento vidurkį, panašų į momentą.

1 lentelė. Optimizavimo funkcijos

Pavadinimas	Tipas	Privalumai	Trūkumai	Veikimas
Adagrad	Prisitaikančio mokymosi	Nereikia rankiniu būdu derinti mokymosi greičio.	Mokymosi greitis visada yra mažėjantis ir nykstantis, kas lėtina konvergavimą.	Leidžia mokymosi greičiui priklausyti nuo parametrų. Dideli atnaujinimai nedažniems parametrams, maži atnaujinimai dažniems parametrams.
RMSprop	Prisitaikančio mokymosi	Greitai konverguoja.	Momentas nedidina funkcijos efektyvumo.	Dalija mokymosi greitį iš eksponentiškai nykstančio kvadratinio gradiento vidurkio.

Skyriuje „Dirbtinio neuroninio tinklo veikimas“ minėta, kad sklidimo atgal algoritmas pagal gauto ir norimo rezultatų skirtumą keičia vidinius neuroninio tinklo parametrus. Vidinių parametrų atnaujinimui yra naudojama optimizavimo funkcija, kuri apskaičiuoja gradientą. Svoriai yra keičiami pagal priešingą apskaičiuoto gradiento kryptį - bandoma leisti į gradiento minimumą.

Optimizavimo funkcijos turi parametą - mokymosi greitį (angl. learning rate). Jis privalo būti nustatytas, tačiau pasirinkti tinkamą mokymosi greitį gali būti sudėtinga - pasirinkus per mažą vidiniai parametrai gali labai lėtai konverguoti, o pasirinkus per didelį - parametrams gali trukdyti konverguoti ir priversti nuostolio funkciją svyruoti apie minimumą arba diverguoti [Leo98]. Optimizavimo funkcijos tikslas yra surasti lokalų minimumą, o to pasiekti galima gradientu judant į žemiausią jo vietą, tačiau pasirinkus per didelį mokymosi greitį yra galimybė, kad žemiausia vieta bus peršokta ir bus tolstama nuo jos.

## 2. Konvoliucinis neuroninis tinklas

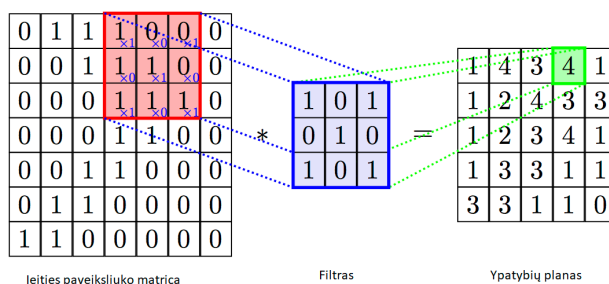
Konvoliuciniai neuroniniai tinklai yra labai panašūs į paprastus dirbtinius neuroninius tinklus (daugiau informacijos skyriuje „Dirbtinis neuroninis tinklas“). Tačiau pagrindinis skirtumas tarp šių tinklų yra, kad konvoliucinio įvesties sluoksnis priima duomenis, kurie gali būti konvertuojami į 2D matricą, pavyzdžiui, paveiksliukai, kurie jei padaryti su standartinė skaitmenine kamera, turi tris komponentus - raudoną, žalią ir mėlyną. Šiuos komponentus galima įsivaizduoti kaip tris 2D matricas sudėtas viena ant kitos. Kiekvienos matricos i-osios eilutės ir j-ojo stulpelio elementas atitinka nuotraukos pikselį, kurio reikšmė yra intervale nuo 0 iki 255. Kadangi naudojamos informacijos tipas yra specifinis, tai labai sumažina tinklo parametrų kiekį ir tinklą padaro efektyvesnį [YK18].

Objektų atpažinimas paveiksliukuose yra sudėtingas dėl šių iššūkių:

- Segmentavimas - paveiksliukai gali atvaizduoti įvairias scenas, kuriose gali būti pavaizduota daug objektų, kurie vienas kita gali dalinai uždengti.
- Šviesa - pikselių intensyvumas gali būti paveiktas šviesos šaltinio ar pačio objekto.
- Deformacija - objektai gali būti deformuoti įvairiais būdais, pavyzdžiui, kiekvieno žmogaus ranka parašyti skaičiai skiriasi.
- Galimybės - objektų klasės dažnai nustatomos pagal tai kaip patys objektai yra naudojami, pavyzdžiui, kėdės yra objektai sukurti sėdėti, tačiau jos gali turėti įvairų dizainą.
- Žvilgsnio taškas - keičiant vietą iš kurios yra žiūrima gali keistis objekto forma, informacija šokinėja per įvesties sluoksnio dimensiją (t.y. pikselius).

### 2.1. Konvoliucija

Konvoliucija yra matematinė operacija, kuri apibūdina taisyklę, kuri parodo kaip reikia sujungti du informacijos rinkinius [PG17].



1 pav. Konvoliucijos veikimas

Pagal paveiksliuką (1 pav.) matyti, kad įvesties duomenys ir filtras, kuris yra sudarytas iš svorių, yra pateikti 2D matrica. Filtras juda nuo duomenų matricos kairės viršutinės dalies į dešinę, tada yra nuleidžiamas žemiau per vieną eilutę ir taip filtras juda per visą duomenų matricą, kol su visais jos duomenimis filtras yra sudauginamas ir užpildo naują matricą, kuri yra vadinama ypatybių planu (angl. feature map). Tačiau konvoliuciniai tinklai turi daug filtrų, kurie pereina per vieną paveiksliuką, kiekvienas išskirdamas skirtingą paveiksliuko ypatybę [Epp17]. Pirmuose



sluoksniuose šiuos filtrus galima apibūdinti kaip horizontalių, vertikalų ar įstrižų linijų filtrus, kurie sukuria paveikslėlio kraštų planą.

## 2.2. Konvoliucinio neuroninio tinklo sluoksniai

Konvoliuciniai neuroniniai tinklai tai yra sluoksnių rinkinys, kuris turi įvesties, vidinius ir išvesties sluoksnius. Tačiau priklausomai kokio tipo konvoliucinis neuroninis tinklas vidiniai sluoksniai gali skirtis. Konvoliuciniai neuroniniai tinklai turi tris pagrindinius sluoksnių tipus, kurie sudaro vidinį sluoksnį. Šie tipai yra konvoliucinis, sujungimo ir pilno sujungimo sluoksniai [RPA<sup>+</sup>18].

Nepagrindinių sluoksnių paaiškinimai:

- Plokštinimo sluoksnis (angl. flatten layer) - skirtas tam, kad įeinančius duomenis suploti į atitinkamą sluoksnių skaičių, jeigu sluoksnio parametras nenustatytas suplojama į vieną sluoksnį.
- Išmetimo sluoksnis (angl. dropout layer) - sluoksnyje atsitiktinai yra išjungiami tam tikri neuronai su Bernulio pasiskirstymo tikimybe, kuri priima dvi reikšmes 1 (sėkmė) ir 0 (nė sėkmė) bei šių reikšmių tikimybe  $p$  ir  $1 - p$ . Dažniausiai yra nustatytas 50 procentų.

### 2.2.1. Konvoliucinis sluoksnis

Konvoliucinis sluoksnis (angl. convolutional layer) yra pagrindinis konvoliucinio neuroninio tinklo sluoksnis, kuris nustato visas paveiksluko ypatybes. Kadangi įvesties informacija (paveikslukas) yra didelės dimensijos, neefektyvu visų neuronų sujungti vienus su kitais, todėl neuronai yra sujungiami su lokaliu informacijos kiekiu, kuris yra lygus filtro dydžiui ir vadinamas erdvinio mastu (angl. receptive field) [Li15].

Neuronų kiekis po konvoliucijos (ypatybių plano dydis) yra nustatomas trimis parametrais:

- Gylis (angl. depth) - atitinka filtrų skaičių.
- Žingsnis (angl. stride) - pikselių kiekis, kuris parodo per kiek reikia slinkti filtro matricą per įvesties informacijos matricą.
- Nulių pamušalas (angl. zero-padding) - įvesties informacijos matricos kraštus užpildyti nuliais.

### 2.2.2. Sujungimo sluoksnis

Periodiškai sujungimo sluoksnis (angl. pooling layer) yra įterpiamas tarp konvoliucinių. Pagrindinis sluoksnio tikslas yra laipsniškai mažinti erdvinį filtruojamo paveiksluko mastą. Šis veiksmas yra atliekamas tam, kad sumažinti parametų ir skaičiavimų kiekį. Maksimumo sujungimo (angl. max pooling) sluoksnis, nepriklausomai nuo kiekvieno sluoksnio gylio, yra erdviškai (ilgis ir plotis) keičiamas ir rezultatas gaunamas naudojant MAX operaciją [LGT18]. Dažnai šis sluoksnis yra naudojamas su 2x2 dydžio filtru - įvesties duomenys yra suskaidomi į keturias lygias dalis ir iš kiekvienos dalies paimama didžiausia tos dalies reikšmė, iš šių reikšmių sudaroma nauja matrica. Egzistuoja ne tik maksimumo sujungimo sluoksniai, bet ir vidurkio sujungimo (angl. average pooling) - jame yra randama ne didžiausia matricos dalies reikšmė, o suskaičiuojamas vidurkis.

### 2.2.3. Pilno sujungimo sluoksnis

Pilno sujungimo sluoksnis (angl. fully connected layer) yra sujungtas su visais neuronais iš sluoksnio buvusio prieš jį. Šio sluoksnio tikslas yra panaudojant tas ypatybes, kurios yra gautos iš prieš tai buvusių sluoksnių, nustatyti kokioms klasėms priklauso įvesties poveikslukas pagal mokymo informacijos imtį, kai neuroninio tinklo problema yra klasifikacija [Kar16]. Šiam sluoksniui yra priskiriama aktyvacijos funkcija, kuri neprivalo būti tokia pati kaip vidiniuose sluoksniuose naudota aktyvacijos funkcija.

## 2.3. Architektūros

Konvoliuciniai neuroniniai tinklai turi keletą skirtingų architektūrų, kurios naudojamos pagal sprendžiamą problemą. 1 lentelėje pateikta informaciją apie įvairias architektūras.

2 lentelė. Konvoliucinių neuroninių tinklų architektūros

Pavadinimas	Metai	Parametrų kiekis	Veikimas	ILSVRC vieta
LeNet	1998	60 000	Geriausiai atpažįsta ranka parašytus skaičius. Susideda iš sluoksnių - kelių pasikartojančių konvoliucijos ir sujungimo bei pasibaigia dviem pilno sujungimo sluoksniais.	-
AlexNet	2012	60 000 000	Veikimu panašus į LeNet, tačiau turi daug daugiau parametrų ir filtrų bei sudėtus konvoliucinius sluoksnius.	pirma
GoogLeNet/Inception	2014	4 000 000	Vidiniai sluoksniai sudėti paraleliai, naudojami Inception moduliai. Vienas modulis savyje turi 1x1, 3x3 ir 5x5 dydžių konvoliucijos filtrų bei vidurkio sudėjimo sluoksnius.	pirma
VGGNet	2014	138 000 000	Panašus veikimas į AlexNet, tačiau daug gilesnis. Naudojamų filtrų dydis yra 3x3 ir jie yra sudėti vienas po kito.	antra

2 lentelė. Konvoliucinių neuroninių tinklų architektūros

Pavadinimas	Metai	Parametrų kiekis	Veikimas	ILSVRC vieta
ResNet	2015	25 000 000	Turi labai daug sluoksnių, sudėtų vienas po kito, kurie turi liekamąjį (angl. residual) bloką, kuris įvesties informaciją perduoda tolimesniam sluoksniui ją pridėdamas ir taip sumažina konvoliucijos ir aktyvavimo funkcijų kiekį.	pirma
CUIImage	2016	-	Dvipusis dvikryptis tinklas, kuris perduoda žinutes tarp skirtingų paramos regionų.	pirma
SENet	2017	25 600 000	Panašus veikimas į ResNet, pridėtas SE blokas, kuris sujungia ypatybių planus ir valdo išėjimus iš kanalo.	pirma

## 2.4. Modelio derinimas

Apmokius neuroninį tinklą ir nustačius vidinių parametrų reikšmes gaunamas neuroninio tinklo architektūros modelis. Tokį jau egzistuojantį modelį galima derinti (angl. fine-tune) ir pritaikyti specifiniai užduočiai spręsti. Modelį derinti galima nustačius kelis paskutinius sluoksnius kaip mokomus (angl. trainable) ir su mažiau duomenų galima modelį suderinti.

Toks suderinimas yra galimas, nes pirmuosiuose sluoksniuose neuroniniai tinklai išmoka ypatybių panašių į Gaboro filtrą (tiesinis filtras naudojamas tekstūroms analizuoti) ir spalvų dėmes. Šios pirmojo sluoksnio ypatybės nepriklauso nuo duomenų rinkinio, bet yra bendros ir tinkamos daugeliui duomenų rinkinių ir užduočių [YCB<sup>+</sup>14].

## 2.5. Tikslumas

Tikslumas (angl. accuracy) yra matavimas, kuris parodo santykį tarp teisingai spėjimų (angl. prediction) ir iš viso darytų spėjimų. Taigi, klasifikavimo tikslumas yra apibrėžtas šiomis sąvokomis - tikras teigiamas (angl. true positive), tikras neigiamas (angl. true negative), klaidingas teigiamas (angl. false positive) ir klaidingas neigiamas (angl. false negative). Atitinkamai tikras teigiamas reiškia objektas  $X_i$  priskirtas klasei  $C_j$ , ir iš tiesų jis jai priklauso, o tikras neigiamas - objektas  $X_i$  nepriskirtas klasei  $C_j$ , ir iš tiesų jis jai nepriklauso. Šie du rodmenys apskaičiuoja

bendrą klasifikacijos tikslumą (3):

$$tikslumas = \frac{TT + TN}{N}. \quad (3)$$

Formulės parametras  $TT$  yra skaičius tikrų teigiamų spėjimų,  $TN$  yra skaičius tikrų neigiamų spėjimų, o  $N$  yra visų objektų skaičius.

### 3. Technologijos

Naudojamų technologijų išsirinkimas yra pradinis žingsnis siekiant įvykdyti kursiniame darbe išsikeltas užduotis. Šiame skyriuje pateiktos populiariausios šių laikų technologijos bei glaustai apibrėžti jų pagrindiniai funkcionalumai.

#### 3.1. ImageNet

Projektas ImageNet buvo sugalvotas profesorės Li Fei-Fei 2009 metais. Projekto tikslas buvo sukurti didelę sukatégorizuotų paveiksliukų ir jų etikečių duomenų bazę, kuri būtų skirta vizualinio objekto atpažinimo programinės įrangos tyrimams. Ši duomenų bazė yra suorganizuota pagal WorldNet hierarchija - anglų kalbos žodžiai yra grupuojami į sinonimų rinkinius, kurie turi apibūdinimus ir naudojimo pavyzdžius bei saugo ryšių kiekį tarp sinonimų arba jų narių. ImageNet turi daugiau nei 100 000 sinonimų rinkinių, kur didžioji dalis yra daiktavardžiai (80 000+).

ImageNet projektas kiekvienais metais daro konkursą vadinamą „ImageNet Large Scale Visual Recognition Challenge“ (trumpinys ILSVRC). Konkurso užduotis yra išmokinti modelį, kuris galėtų įvesties paveiksliuką teisingai klasifikuoti į 1000 skirtingų objektų klasių, kurios atitinka realius daiktus, gyvūnus ir t.t. Modeliai yra apmokomi su apie 1.2 milijonų paveiksliukų ir dar 50 000 paveiksliukų yra naudojami validacijai mokymo metu bei 100 000 paveiksliukų yra panaudojami galutiniam modelio testavimui. Šis konkursas yra paveiksliukų klasifikacijos algoritmų etalonas.

#### 3.2. Keras

Keras yra aukšto lygio programų sąsaja skirta neuroniniams tinklams. Sąsaja parašyta su Python programavimo kalba ir vidinėje pusėje galinti veikti su „TensorFlow“ ir kitomis bibliotekomis. Keras buvo sukurtas tikintis suteikti greitą eksperimentavimą, kad sugalvojus idėją pasiekti rezultato būtų galima su kiek įmanoma mažiau uždelsimo.

Ši sąsaja savyje turi visus pagrindinius neuroninio tinklo kūrimo blokus, pavyzdžiui, sluoksniai, aktyvavimo ir optimizavimo funkcijos. Taip pat Keras suteikia modelius, kurie yra apmokyti naudojant ImageNet duomenų bazę. Šiuos modelius galima derinti, pridėti papildomų sluoksnių, pasirinkti esamus sluoksnius bei juos iš naujo apmokyti.

#### 3.3. TensorFlow

TensorFlow yra atviros programinės įrangos biblioteka skirta aukšto našumo skaitiniams skaičiavimams. Jo lanksti architektūra leidžia lengvai diegti skaičiavimus įvairiose platformose - procesoriuose, grafikos procesoriuose. Sukurtas „Google“ dirbtinio intelekto skyriaus, tad yra labai palaikomas automatinis ir gilusis mokymasis, tačiau dėl bibliotekos ir skaičiavimų lankstumo yra naudojamas įvairiose mokslinėse srityse.

## 4. Modelio derinimas ir modifikavimas-derinimas su mažu duomenų rinkiniu

Šio eksperimento tikslas yra išanalizuoti mokymosi tikslumą su skirtingų gylių neuroniniais tinklais, kai mokymui yra naudojama maža paveikslėlių imtis. Taigi, pirmas šio eksperimento žingsnis - išsirinkti konvoliucinį neuroninį tinklą. Poskyriuje „Architektūros“ yra trumpai apibūdinti pagrindiniai konvoliucinių neuroninių tinklų tipai. Iš jų buvo išsirinktas VGG, kadangi jis neturi specialių blokų kaip kad GoogleNet turi inception arba ResNet turi liekamąjį, todėl yra paprasta suvokti kaip duomenys sklinda per tinklą. Buvo nuspręsta daryti paprastą, binarinę paveikslėlių klasifikaciją - nustatymas ar katė, ar šuo pavaizduotas paveikslėlyje. Buvo surasta ir naudota duomenų imtis, kuri turi 10 000 paveikslėlių - 8 000 mokymosi tikslui ir 2 000 validacijos.

### 4.1. Programos veikimas

Ankstesniame skyriuje „Technologijos“ yra išvardintos visos technologijos, kurios buvo naudotos šio eksperimento programai parašyti.

Ruošiantis eksperimentui reikia paruošti kompiuterį darbui - įrašyti „Python“ programavimo įrankius, paruošti „Anaconda“ komandinę eilutę, „NVIDIA CUDA“ įrankius, Keras ir TensorFlow. Tačiau kompiuteris privalo turėti tinkamą procesorių ar grafinį procesoriaus bloką - kompiuteris, kurį naudojau turėjo Nvidia 1080 Ti. Programa, kuri derina modelį ir modifikuoja, nelabai skiriasi, tad modelio derinimo eiga buvo vėliau pritaikyta ir modifikavimo daliai.

Keras pateikia modelius, apmokytus su ImageNet, ir jų svorius, tad reikia tik importuoti tinkamą modelį - šiuo atveju VGG16. Importavimo metu reikia nustatyti, kad pilnai sujungtas sluoksnis nebūtų pridėtas, kadangi tada galima parinkti kokių dimensijų paveikslui naudojami ir kiek spalvų sluoksnių jie turi (standartiniai paveikslukai turi 3). Tuomet reikia nustatyti kokius importuoto modelio sluoksnius norima mokinti ir kuriuos - ne. Iš visų esamų sluoksnių mokymui buvo parinkti tik paskutiniai 4, kadangi jie yra atsakingi už specifinių ypatybių išmokimą. Po šių egzistuojančio modelio paruošimų reikia sukurti naują Kero modelį, prie kurio reikia pridėti paruoštą egzistuojantį modelį bei pridėti kelis kitus sluoksnius tam tikru išsidėstymu - plokštinimo (angl. flatten), tankumo (angl. dense), išmetimo (angl. dropout) ir vėl tankumo. Pirmasis tankumo sluoksnis turi aktyvacijos funkciją ReLU, o paskutinis - sigmoidinę. Po visų sluoksnių pridėjimo modelis iš viso turėjo 40 406 849 parametrų, iš kurių mokinami buvo 32 771 585, o tik 7 635 264 buvo nekeičiami. Pavyzdžiui, architektūra ResNet, kuri yra laikoma giliu tinklu dėl turimų sluoksnių skaičiaus, turi 25 000 000 parametrų [HZR<sup>+</sup>15].

Po modelio paruošimo, reikia nustatyti kokio dydžio paveikslėlių partijomis (angl. batch) bus mokomas ir validuojamas modelis. Geriausias partijos dydis naudotam kompiuteriui buvo mokymosi partijai 100 paveikslėlių, o validacijos - 25. Tuomet nustatomas paveikslėlių aplankalo kelias, jų ir partijos dydis bei nustatomas klasės režimas į binarinį, nes duomenų imtis susideda iš dviejų klasių - kačių ir šunų.

Paruošę modelį bei paveikslėlių rinkinį, galima pradėti mokinti ir validuoti modelį. Taigi, nustatomas modelio kompiliavimo metodas, kur turi būti - nuostolio ir optimizavimo funkcijos.

Daugiau apie nuostolio ir optimizavimo funkcijas galima skaityti skyriuose „Nuostolio funkcijos“ ir „Optimizavimo funkcijos“. Tačiau nuostolio funkcija šiame modelyje yra binarinė kryžiaus entropija, kuri nebuvo keičiama. Šio eksperimento metu bus naudojamos keturios optimizavimo funkcijos - SGD, Adam, Adagrad ir RMSprop. Po modelio sukompiliavimo yra aprašomas mokymo metodas, kuriam turi būti pateikta - paruošti paveiksliukai, žingsnis per epochą, epochų kiekis, paruošti validacijos paveiksliukai ir jų žingsnis. Taigi, šiame eksperimente epocha yra nustatyta 80, kadangi tokia išeina pagal visų turimų paveiksliukų skaičių ir paketo dydį.

Modelio modifikavimo veikimas yra toks pats išskyrus, kad pridedami ne 4 sluoksniai, o 14 sluoksnių, kurie visi yra tankumo sluoksniai su aktyvacijos funkcija ReLu. Jie yra pridedami tarp plokštinimo ir kito tankumo sluoksnio. Po visų sluoksnių pridėjimo iš viso buvo 51 952 449 parametrai, iš kurių buvo 44 317 185 mokinami, o tiek pat buvo nemokinami kaip ir derinant modelį. Taigi, modifikavimo metu prisidėjo papildomi 11 545 600 parametrai.

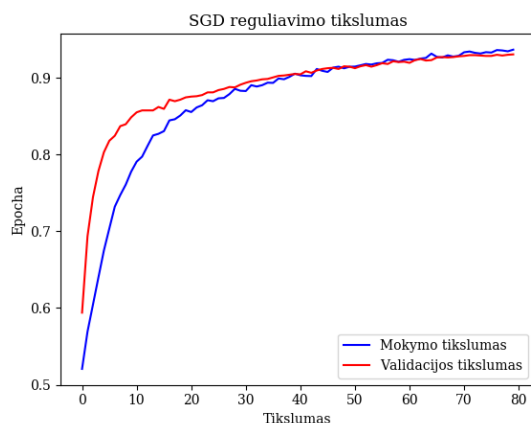
## 4.2. Modelių mokymas

Parašius programas, kurios derina bei modifikuoja modelį, buvo pradėta jį mokyti ir validuoti su skirtingomis optimizavimo funkcijomis. Mokymosi greitis buvo išrinktas  $1e-4$ , kas yra 0.0001.

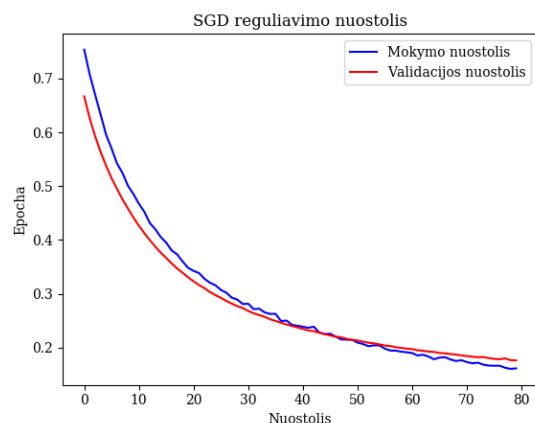
### 4.2.1. Modelio derinimas

Pasirinkta buvo pradėti eksperimentą nuo modelio modifikavimo, kadangi tokiu būdu galima pamatyti kaip modelio paskutiniai keli sluoksniai yra apmokomi ir kaip tikslumas ir nuostolis keičiasi mokymo metu, kai yra naudojamas negilus modelis.

Taigi, pirmiausiai buvo pasirinkta SGD optimizavimo funkcija. Apmokius modelį buvo gauti grafikai - 3 ir 4 paveiksliukai.



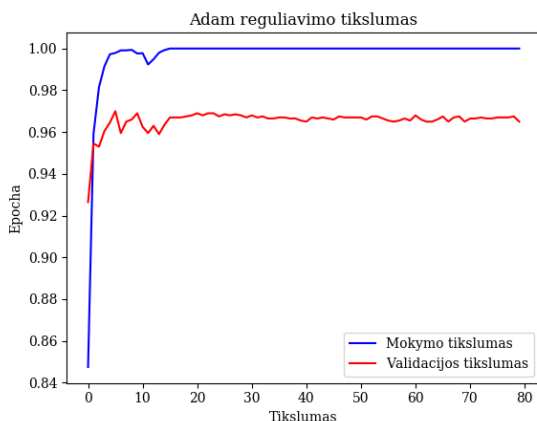
2 pav. Modelio mokymosi ir validacijos tikslumas naudojant SGD



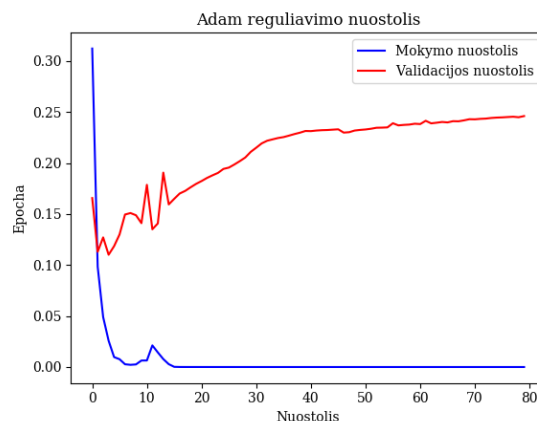
3 pav. Modelio mokymosi ir validacijos nuostolis naudojant SGD

Grafikas (3 pav.) parodo, kad tikslumas kyla kuo daugiau modelis išmoksta ir validacijos funkcija pirmiausiai pranoksta mokymosi, bet vėliau susilygina. Aukščiausias tikslumo rezultatas yra apie 94 procentus. Grafikas (4 pav.) rodo nuostolį per epochas. Iš jo matoma, kad mokymosi ir validacijos nuostoliai ties 47 epocha susikerta ir validacijos nuostoliai tampa didesni už mokymosi.

Vėliau keičiama optimizavimo funkcija į Adam - mokymosi rezultatai matomi grafikuose - 5 ir 6 paveikslukuose.



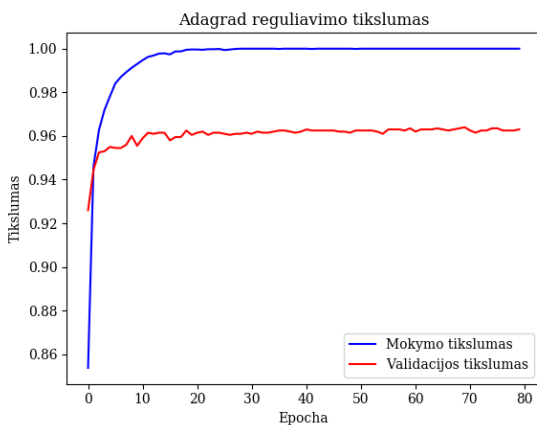
4 pav. Modelio mokymosi ir validacijos tikslumas naudojant Adam



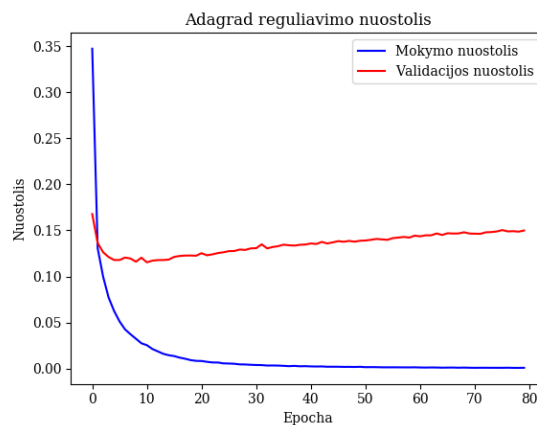
5 pav. Modelio mokymosi ir validacijos nuostolis naudojant Adam

Tikslumo grafikas (5 pav.) parodo, kad mokymosi tikslumas per kelias pirmas epochas pasiekia beveik 100 procentinį tikslumą, tačiau validacijos lieka apie 96 procentus ir daugiau nebekyla. O nuostolio grafikas (6 pav.) parodo, kad mokymosi nuostolis staigiai nukrenta iki beveik 0 procentų nuostolių. Tačiau validacijos nuostoliai per kelias epochas nukrenta, o po to staigiai pradeda augti ir išsilygina ties 24 procentais.

Trečiasis testuojama optimizavimo funkcija yra Adagrad. Jos grafikai yra 7 ir 8 paveikslukai.



6 pav. Modelio mokymosi ir validacijos tikslumas naudojant Adagrad

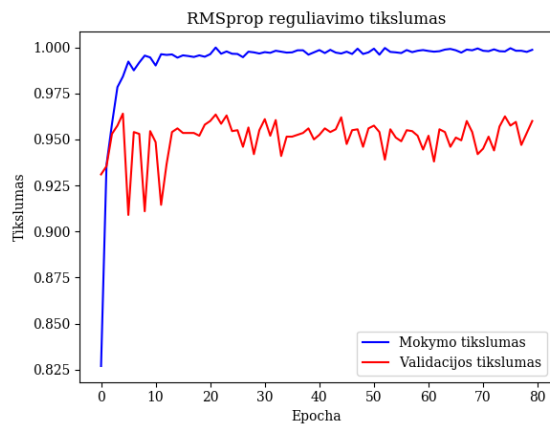


7 pav. Modelio mokymosi ir validacijos nuostolis naudojant Adagrad

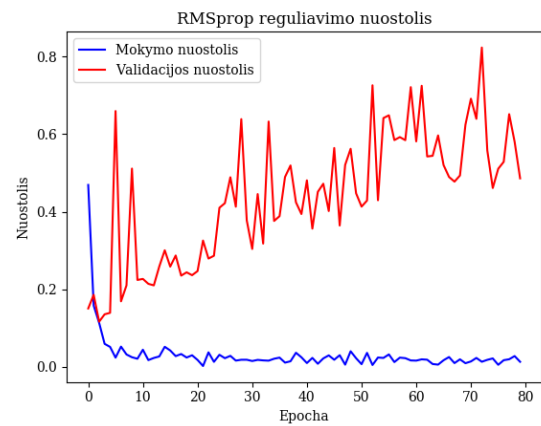
Galima daryti išvadą, jog tikslumo grafikas (7 pav.) parodo, kad mokymosi tikslumas per pirmas 20 epochų pakyla beveik iki 100 procentų, o validacijos tikslumas pakyla iki 96 procentų ir ties tiek pasilieka. O nuostolio grafikas (8 pav.) parodo, kad taip pat kaip ir mokymosi tikslumas taip ir nuostolis per pirmas 20 epochų nukrenta iki beveik 0 procentų ir ties ten lieka. Kai validacijos nuostolis nukrenta iki tolygiai auga iki 11 procentų, o po to tolygiai kyla iki 15 procentų.

Paskutinis bandymo optimizavimo funkcija yra RMSprop. Ji yra parodyta 9 ir 10 paveikslukuose.





8 pav. Modelio mokymosi ir validacijos tikslumas naudojant RMSprop



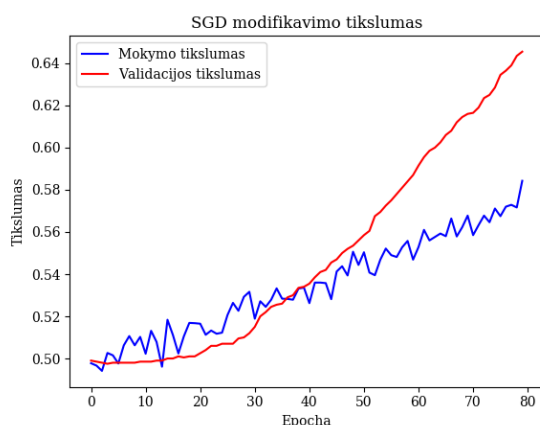
9 pav. Modelio mokymosi ir validacijos nuostolis naudojant RMSprop

Tad, tikslumo grafikas (9 pav.) parodo, kad mokymosi funkcija šokteli iki 100 procentų ir ten išsilaiko, kai validacijos funkcija stipriai svyruoja tarp 93 ir 95 procentų, bet per visas epochas neišsilygina. O nuostolio grafikas (10 pav.) parodo, kad mokymosi funkcija nukrenta iki beveik 0 procentų ir ten išsilaiko. Tačiau validacijos funkcija labai stipriai svyruoja ir didėja. Pasiiekdama aukščiausią nuostolį ties 82 procentais.

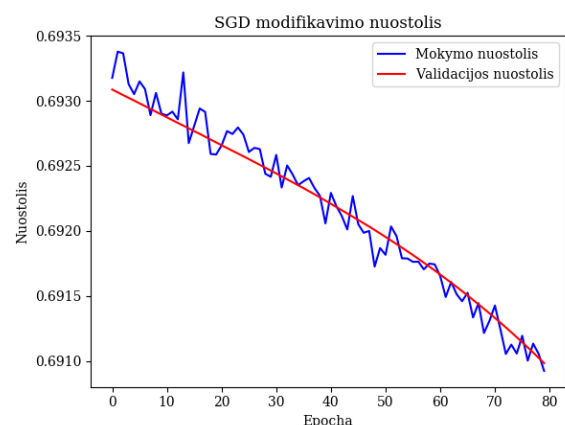
#### 4.2.2. Modelio modifikavimas

Iš naujo apmokyti modeliai su 14 papildomų sluoksnių. Visi parametrai ir duomenų itmis liko tokie patys tik optimizavimo funkcija vėl buvo keičiama.

Kaip ir prieš tai pirmoji modifikavimo funkcija yra SGD. Jos grafikai yra 11 ir 12 paveikslukai.



10 pav. Gilesnio modelio mokymosi ir validacijos tikslumas naudojant SGD

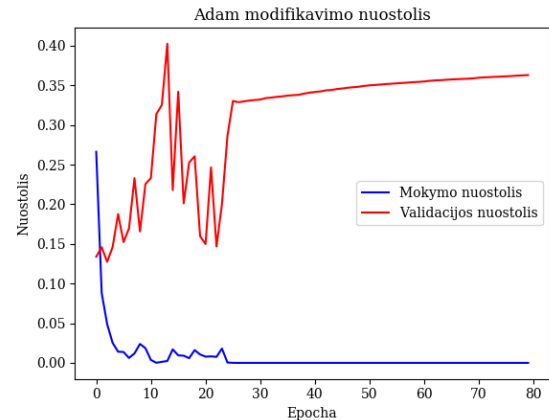
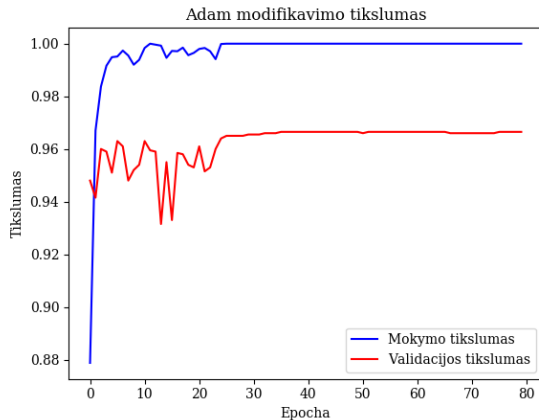


11 pav. Gilesnio modelio mokymosi ir validacijos nuostolis naudojant SGD

Tikslumo grafikas (11 pav.) matyti, kad mokymosi funkcija tolygiai svyruojančiai didėja, tačiau validacijos tikslumas ties 37 epocha pranoksta mokymosi bei pati validacijos funkcija tolygiai kyla ir neturi tokių svyravimų kaip mokymosi. Palyginus su 3 paveiksluko tikslumu, po papildomų

sluoksnių pridėjimo nei validacijos nei mokymosi tikslumas nepasiekia tokio aukšto tikslumo, koks buvo mažesnio gylio modelyje. Nuostolio grafike (12 pav.) parodyta, kad mokymosi ir validacijos funkcijos tolygiai mažėja, tačiau mokymosi svyruoja. Tačiau mažiausias nuostolis šiame grafike yra 69 procentai, kai 4 paveiksluke, kur parodyta ne tokio gilaus modelio nuostoliai, mažiausi pasiekti nuostoliai yra 20 procentų.

Antra bandoma optimizavimo funkcija yra Adam. Jos grafikai yra 13 ir 14 paveikslukai.

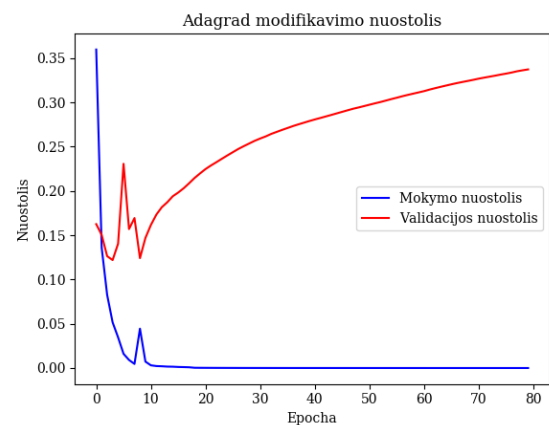
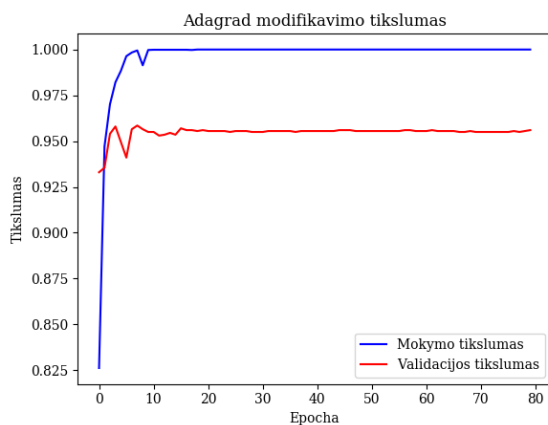


12 pav. Gilesnio modelio mokymosi ir validacijos tikslumas naudojant Adam

13 pav. Gilesnio modelio mokymosi ir validacijos nuostolis naudojant Adam

Tikslumo grafiką (13 pav.) palyginus su 5 paveiksluku matyti, kad mokymosi tikslumo funkcija pakilo iki 100 procentų, panašiu greičiu. Validacijos funkcija gilesniame modelyje pirmose 25 epochų ganėtinai stipriai svyravo, tačiau po to išsilygino ties 96 procentais. Tačiau nuostolio grafikas (14 pav.) labai skiriasi nuo 6 paveiksluko, kur parodyta ne tokio gilaus modelio nuostolis. Mokymosi funkcija kaip ir mažesnio gylio modelio mažėja iki 0 procentų, tačiau validacijos nuostolis daug stipriau svyruoja pirmose 25 epochose, o po to išsilygina ir pradeda tolygiai didėti, pasiekdama didžiausia nuostolį ties 36 procentais.

Prieš paskutinė funkcija yra Adagrad. Šios funkcijos grafikai yra 15 ir 16 paveikslukai.



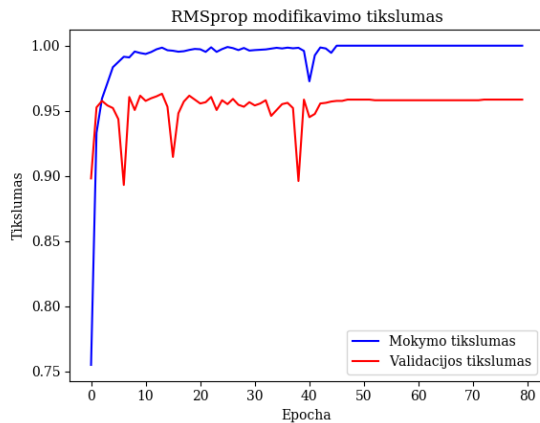
14 pav. Gilesnio modelio mokymosi ir validacijos tikslumas naudojant Adagrad

15 pav. Gilesnio modelio mokymosi ir validacijos nuostolis naudojant Adagrad

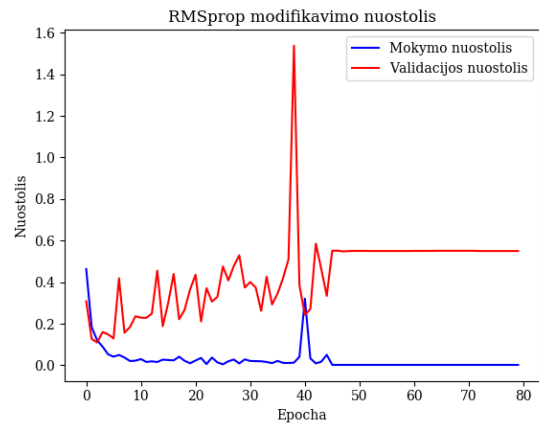
Tikslumo grafikas (15 pav.) yra labai panašus į mažesnio gylio tikslumo grafiką (7 pav.),

kadangi mokymosi tikslumo funkcijos yra beveik vienodos, o validacija šiuo atveju yra šiek tiek mažesnio tikslumo gilesniame modelyje - susilygina ties 95 procentais. Nuostolio grafikas (16 pav.) kaip ir 8 paveiksliuke, parodo, kad mokymosi nuostolis staigiai mažėja iki 0 procentų. O validacijos nuostolis pirmose 10 epochų stipriai svyruoja ir po to sparčiai auga ir pasiekia maksimalią nuostolio reikšmę ties 34 procentais, kai mažesnio gylio modelio yra apie 15 procentų.

Paskutinė optimizavimo funkcija yra RMSprop. Jos grafikai yra 17 ir 18 paveiksliukai.



16 pav. Gilesnio modelio mokymosi ir validacijos tikslumas naudojant RMSprop



17 pav. Gilesnio modelio mokymosi ir validacijos nuostolis naudojant RMSprop

Tikslumo grafike (17 pav.) matyti, kad mokymosi funkcija pakyla iki 100 procentų, o validacijos funkcija svyruoja iki 40 epochos, o po to išsilygina ties 95 procentais, kai toks pat rezultata matomas ir 9 paveikslyje, kuriame parodyta mažiau gilaus modelio tikslumas. Nuostolio grafikas (18 pav.) parodo, kad mokymosi funkcija pasiekia 0 procentų. Tačiau validacijos funkcija svyruoja pirmas 45 epochas, o po to išsilygina ties 55 procentais.

## Rezultatai ir išvados

Šio darbo metu buvo apžvelgta dirbtinių neuroninių tinklų ir konvolucinių neuroninių tinklų veikimas ir jų sudedamosios dalys bei surinkta informacija iš literatūros šaltinių. Atliktas eksperimentas, kurio tikslas buvo pamatyti kokį efektą turi konvolucinio neuroninio tinklo gylis ir jo suderinimui naudojamas mažas duomenų rinkinys neuroninio tinklo tikslumui.

Darbo rezultatai:

1. Buvo atlikta bendra dirbtinių neuroninių tinklų ir konvoliucinių neuroninių tinklų analizė.
2. Egzistuojančio modelio, kuris atitiko VGG architektūra, 4 paskutiniai sluoksniai buvo suderinti su pasirinkta mažo kiekio kačių ir šunų paveikslukų rinkiniu (iš viso 8 000 paveikslukų).
3. Egzistuojantis modelis, kuris atitiko VGG architektūra, buvo modifikuotas, pridėjus papildomus 14 sluoksnių, ir suderintas su kačių ir šunų duomenų rinkiniu.
4. Gauti suderinto ir modifikuoto-suderinto modelių mokymo ir validacijos tikslumo grafikai.
5. Suderinimo metu buvo keičiamos optimizavimo funkcijos - iš viso panaudotos SGD, Adam, Adagrad ir RMSprop funkcijos, kurios buvo palyginus naudojantis mokymo ir validacijos grafikais.

Darbo išvados:

1. Apmokius skirtingų gylių dirbtinius neuroninius tinklus, buvo nustatyta, kad gilesnis tinklas mokomojoje dalyje pasirodo labai gerai - tikslumas auga ir nuostolis mažėja iki 0, tačiau validacijos metu tikslumas pakyla iki tam tikros reikšmės ir pasidaro pastovus, o praradimas tolygiai auga. Kita vertus, trumpesnio tinklo tikslumas yra labai panašus į gilesnio bei nuostolis nepasiekia 0. Galima daryti išvadą, kad gilesnis neuroninis tinklas su mažu kiekiu duomenų gali juos įsiminti, o ne išmokti atpažinti, nes nuostolio funkcijos reikšmė pasiekia 0.
2. Atliktas eksperimentas parodė, kad su naudotu duomenų rinkiniu ir parametrais, mažo ir didelio gylio modeliuose geriausia naudoti Adagrad arba Adam optimizavimo funkcijas, kadangi mažame ir gilesniame modeliuose Adagrad ir Adam pasiektas validacijos tikslumas siekia 96 procentus. Tačiau pagal gautus nuostolio funkcijos grafikus matyti, kad mažesnio gylio modeliuose mokymo ir validacijos nuostolis mažėja arba nestipriai didėja. Didesnio gylio modeliuose mokymo nuostolis artėja link 0, o validacijos nuostolis turi augimo tendenciją. Iš visų šio eksperimento metu bandytų optimizavimo funkcijų Adagrad ir Adam pasirodė geriausiai. Adagrad funkcija yra geriau, kadangi ji pritaiko mokymosi greitį pagal parametrus - maži pakeitimai (žemas mokymosi greitis) prametrams, kurie pasikartoja dažnai, ir dideli pakeitimai (aukštas mokymosi greitis), kai parametrai nėra dažni. Todėl ši funkcija labai gerai pasirodo su maža duomenų imtimi [KMK<sup>+</sup>16]. O Adam funkcija yra geriau, nes kaip ir Adagrad apskaičiuoja ir saugo mokymosi greitį kiekvienam parametru, o

bet ir fiksuoja momento (angl. momentum) pasikeitimus, kas leidžia greičiau surasti lokalių minimumą ir konverguoti. Todėl su dideliu kiekiu parametrų ir mažu duomenų kiekiu Adam veikia geriau [KB14].

## Literatūra

- [BX16] Su Chang Bian Ziyang Xu Tingfa ir Luo Xuan. Human abnormal behavior detection based on rgb-d video's skeleton information entropy. *Proceedings of the 2015 international conference on communications, signal processing, and systems*. Springer Berlin Heidelberg, 2016, p. 715–723. ISBN: 978-3-662-49831-6.
- [Dav15] Cameron Davidson-Pilon. *Bayesian methods for hackers*. Addison-Wesley Professional, 2015.
- [Epp17] Sagi Eppel. Setting an attention region for convolutional neural networks using region selective features, for recognition of materials within glass vessels. *Corr*, abs/1708.08711, 2017. arXiv: 1708.08711. URL: <http://arxiv.org/abs/1708.08711>.
- [Fuk80] Kunihiko Fukushima. Neocognitron: a self-organizing neural network model for a mechanism of pattern recognition unaffected by shift in position. 36:193–202, 1980-02.
- [Gau15] Ranjana Raut Gauri Borkhade. Application of neural network for diagnosing eye disease. *International journal of electronics, communication and soft computing science engineering (ijecscse)*, 4:174–176, 2015. Published By International Journal of Electronics, Communication and Soft Computing Science and Engineering.
- [GBC16] Ian Goodfellow, Yoshua Bengio ir Aaron Courville. *Deep learning*. MIT Press, 2016. <http://www.deeplearningbook.org>.
- [GVR<sup>+</sup>10] N. Ganesan, K. Venkatesh, M. A. Rama ir A. Malathi Palani. Article: application of neural networks in diagnosing cancer disease using demographic data. *International journal of computer applications*, 1(26):76–85, 2010-02. Published By Foundation of Computer Science.
- [HZR<sup>+</sup>15] Kaiming He, Xiangyu Zhang, Shaoqing Ren ir Jian Sun. Deep residual learning for image recognition. *Corr*, abs/1512.03385, 2015. arXiv: 1512.03385. URL: <http://arxiv.org/abs/1512.03385>.
- [YCB<sup>+</sup>14] Jason Yosinski, Jeff Clune, Yoshua Bengio ir Hod Lipson. How transferable are features in deep neural networks? *Corr*, abs/1411.1792, 2014. arXiv: 1411.1792. URL: <http://arxiv.org/abs/1411.1792>.
- [YK18] Adam JATOWT Yihong ZHANG ir Yukiko KAWAI. Picture or words: predicting twitter image post popularity with deep learning, 2018. URL: <http://db-event.jp/jpn.org/deim2018/data/papers/365.pdf>.
- [Kar16] Ujjwal Karn. An intuitive explanation of convolutional neural networks. <https://ujjwalkarn.me/2016/08/11/intuitive-explanation-convnets/>. 2016.
- [KB14] Diederik P. Kingma ir Jimmy Ba. Adam: A method for stochastic optimization. *Corr*, abs/1412.6980, 2014. arXiv: 1412.6980. URL: <http://arxiv.org/abs/1412.6980>.

- [KMK<sup>+</sup>16] G. Krummenacher, B. McWilliams, Y. Kilcher, J. M. Buhmann ir N. Meinshausen. Scalable Adaptive Stochastic Optimization Using Random Projections. *Arxiv e-prints*, 2016-11. arXiv: 1611.06652 [stat.ML].
- [Leo98] C.T. Leondes. *Image processing and pattern recognition. Neural Network Systems Techniques and Applications*. Elsevier Science, 1998, p. 323–324. ISBN: 9780080551449. URL: <https://books.google.lt/books?id=oDewAeVxr-4C>.
- [LGT18] C. Y. Lee, P. Gallagher ir Z. Tu. Generalizing pooling functions in cnns: mixed, gated, and tree. *Ieee transactions on pattern analysis and machine intelligence*, 40(4):863–875, 2018-04. ISSN: 0162-8828. DOI: 10.1109/TPAMI.2017.2703082.
- [LHB<sup>+</sup>99] Yann LeCun, Patrick Haffner, Léon Bottou ir Yoshua Bengio. Object recognition with gradient-based learning. *Shape, contour and grouping in computer vision*. Springer-Verlag, London, UK, UK, 1999, p. 319–. ISBN: 3-540-66722-9. URL: <http://dl.acm.org/citation.cfm?id=646469.691875>.
- [Li15] Fei-Fei Li. Convolutional neural networks. <https://cs231n.github.io/convolutional-networks/>. 2015.
- [Nik16] Mina Niknafs. Neural network optimization. 2016.
- [Pau01] Colm O’ Riordan Paul O’ Dea Josephine Griffith. Combining feature selection and neural networks for solving classification problems. *Intelligent exploration of the web*:389–401, 2001-07.
- [PG17] Josh Patterson ir Adam Gibson. *Deep learning*. O’Reilly Media, Inc., 2017.
- [Pit43] Warren S. McCullochWalter Pitts. A logical calculus of ideas immanent in nervous activity. *Bulletin of mathematical biophysics*, 5:115–133, 1943-12. ISSN: 0007-4985. DOI: <https://doi.org/10.1007/BF02478259>.
- [Ras15] Sebastian Raschka. *Python machine learning*. Packt Publishing, 2015, p. 342–343. ISBN: 1783555130, 9781783555130.
- [RPA<sup>+</sup>18] Reza Reiazi, Reza Paydar, Ali Abbasian Ardakani ir Maryam Etedadialiabadi. Mam-mography lesion detection using faster r-cnn detector. 2018-01.
- [RS17] Thaqif Rajab ir Roselina Salleh. Classification of diabetes disease using backpropagation and radial basis function network. 2:3–4, 2017.
- [Shi12] D. Shiffman. *The nature of code*. D. Shiffman, 2012. dalis 10. ISBN: 9780985930806. URL: <https://books.google.lt/books?id=hoK6lgEACAAJ>.
- [TL14] Ranzato Marc’Aurelio Taigman Yaniv Yang Ming ir Wolf Lior. Deepface: closing the gap to human-level performance in face verification. *Proceedings of the 2014 ieee conference on computer vision and pattern recognition*. IEEE Computer Society, 2014, p. 1701–1708. ISBN: 978-1-4799-5118-5. DOI: 10.1109/CVPR.2014.220. URL: <https://doi.org/10.1109/CVPR.2014.220>.

- [VK11] A Vehbi Olgac ir Bekir Karlik. Performance analysis of various activation functions in generalized mlp architectures of neural networks. 1:111–122, 2011-02.
- [Woo18] C. Woodford. Neural networks. [https : / / www . explainthatstuff . com / introduction-to-neural-networks.html](https://www.explainthatstuff.com/introduction-to-neural-networks.html). 2018.
- [ZGD03] Qi-Jun Zhang, K. C. Gupta ir V. K. Devabhaktuni. Artificial neural networks for rf and microwave design - from theory to practice. *Ieee transactions on microwave theory and techniques*, 51(4):1339–1350, 2003-04. ISSN: 0018-9480. DOI: 10.1109/TMTT.2003.809179.